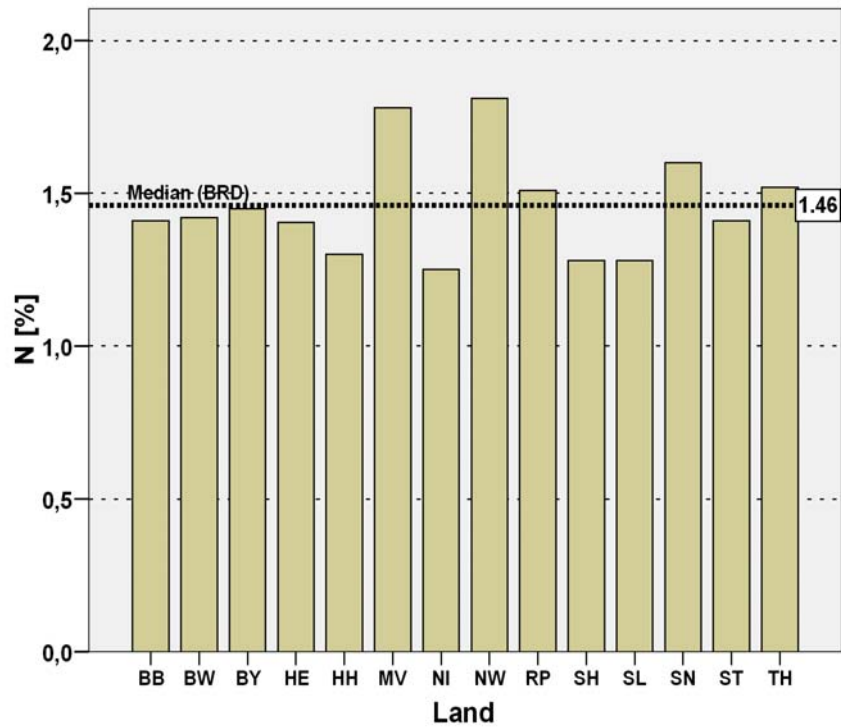
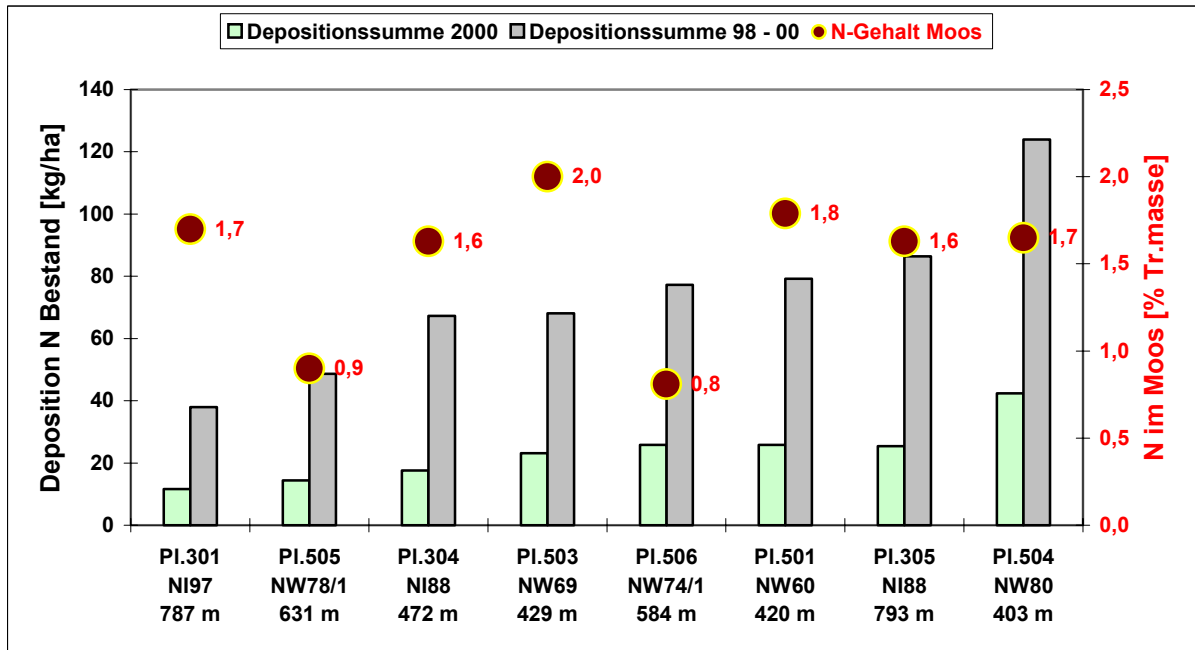


Anhang C.25: Ländervergleich Mediane N in Moosen 2005

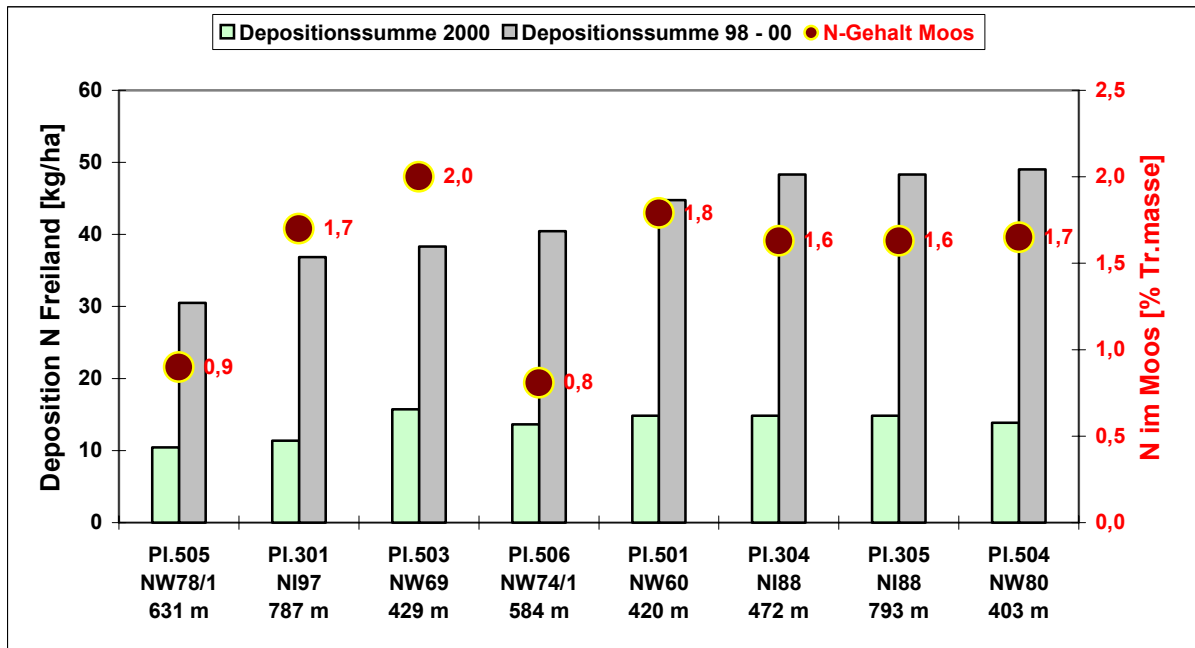


Anzahl Messwerte N 2005														
BB	BW	BY	HE	HH	MV	NI	NW	RP	SH	SL	SN	ST	TH	BRD
51	56	103	60	3	49	88	80	33	31	7	61	48	55	726

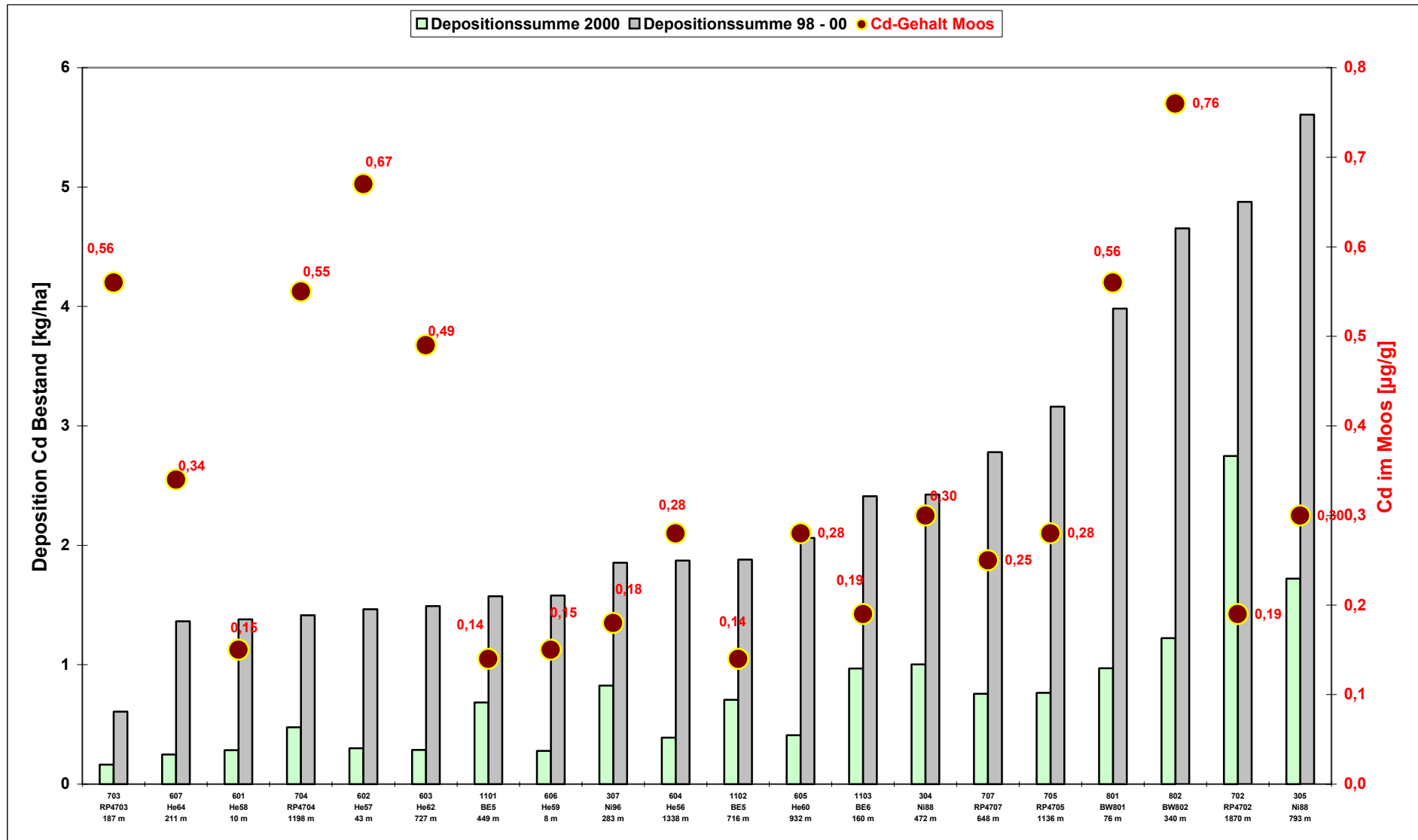
Anhang C.26: Vergleich N im Moos (Moos-Monitoring 2000) N in der Bestandesdeposition (ICP-Forests Level II)



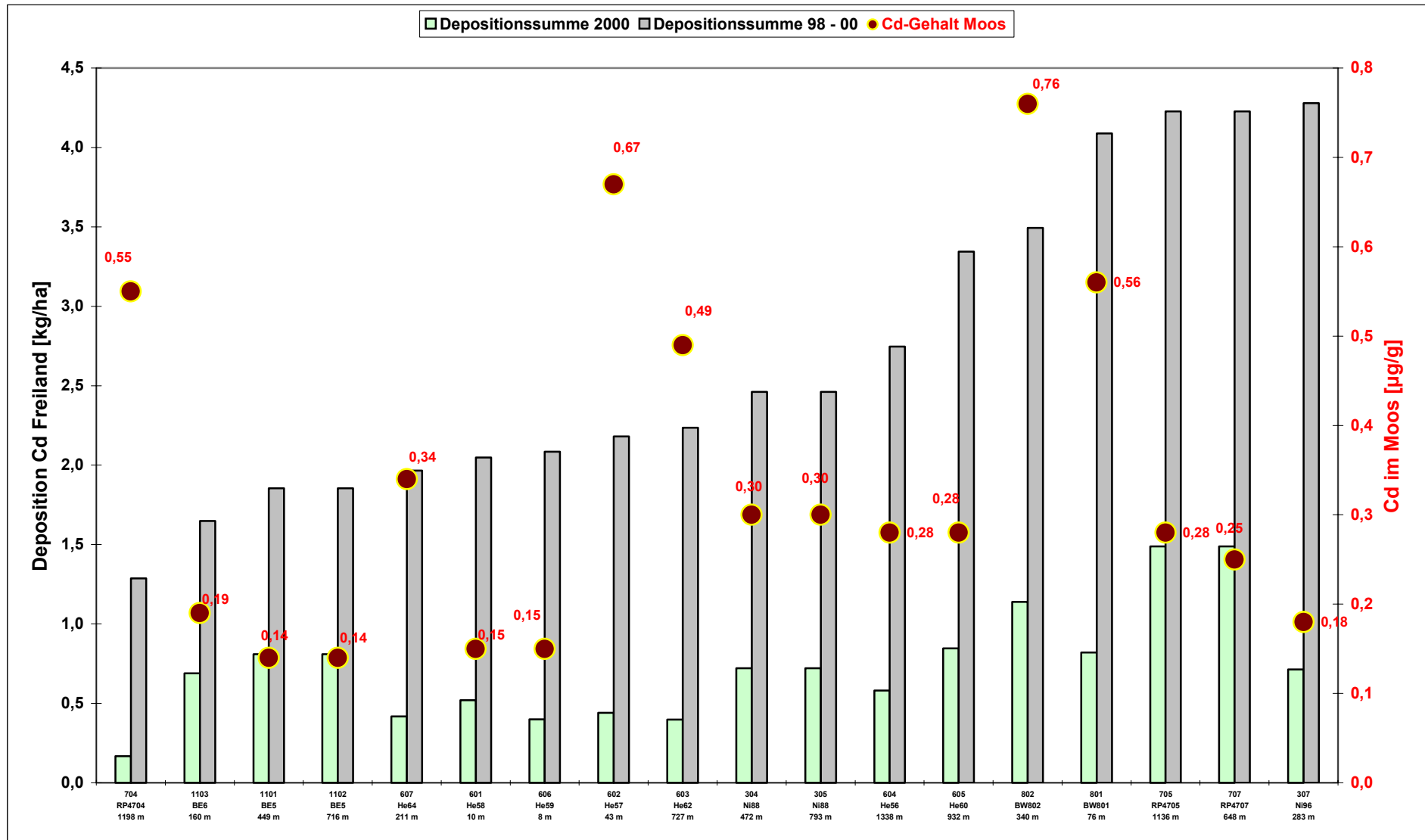
Anhang C.27: Vergleich N im Moos (Moos-Monitoring 2000) N in der Freilanddeposition (ICP-Forests Level II)



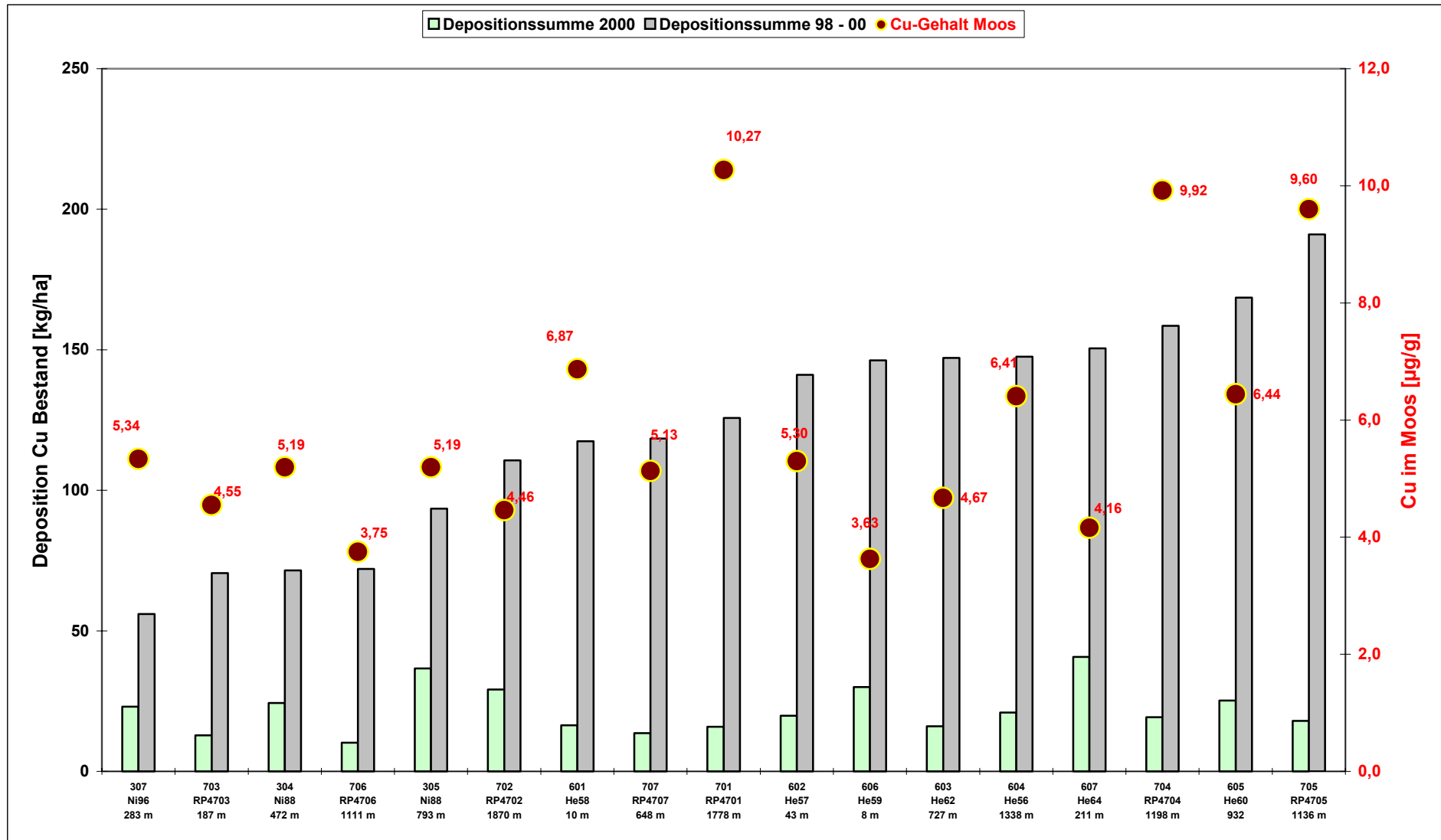
Anhang C.28: Vergleich Cd im Moos (Moos-Monitoring 2000) Cd in der Bestandesdeposition (ICP-Forests Level II)



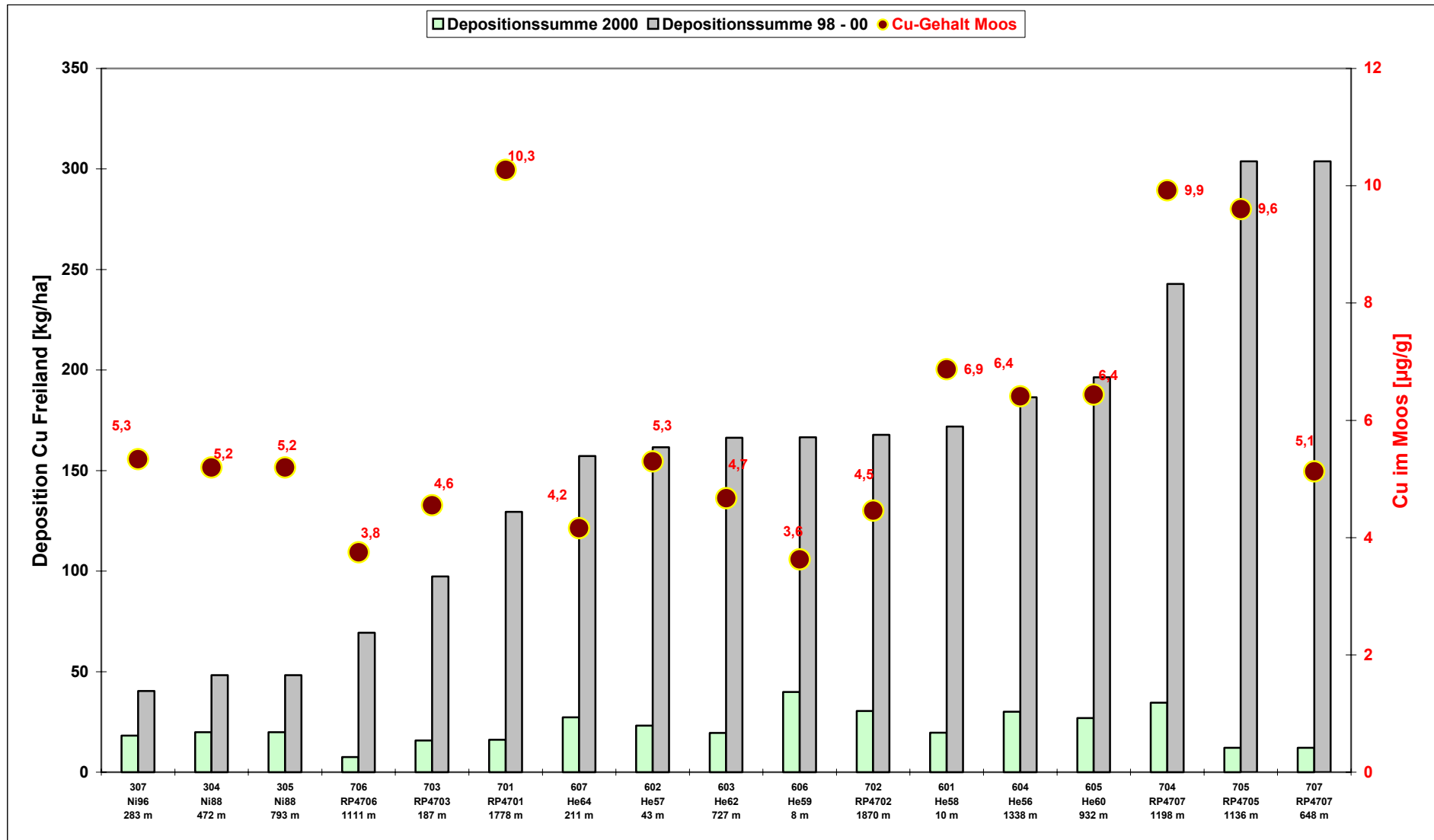
Anhang C.29: Vergleich Cd im Moos (Moos-Monitoring 2000) Cd in der Freilanddeposition (ICP-Forests Level II)



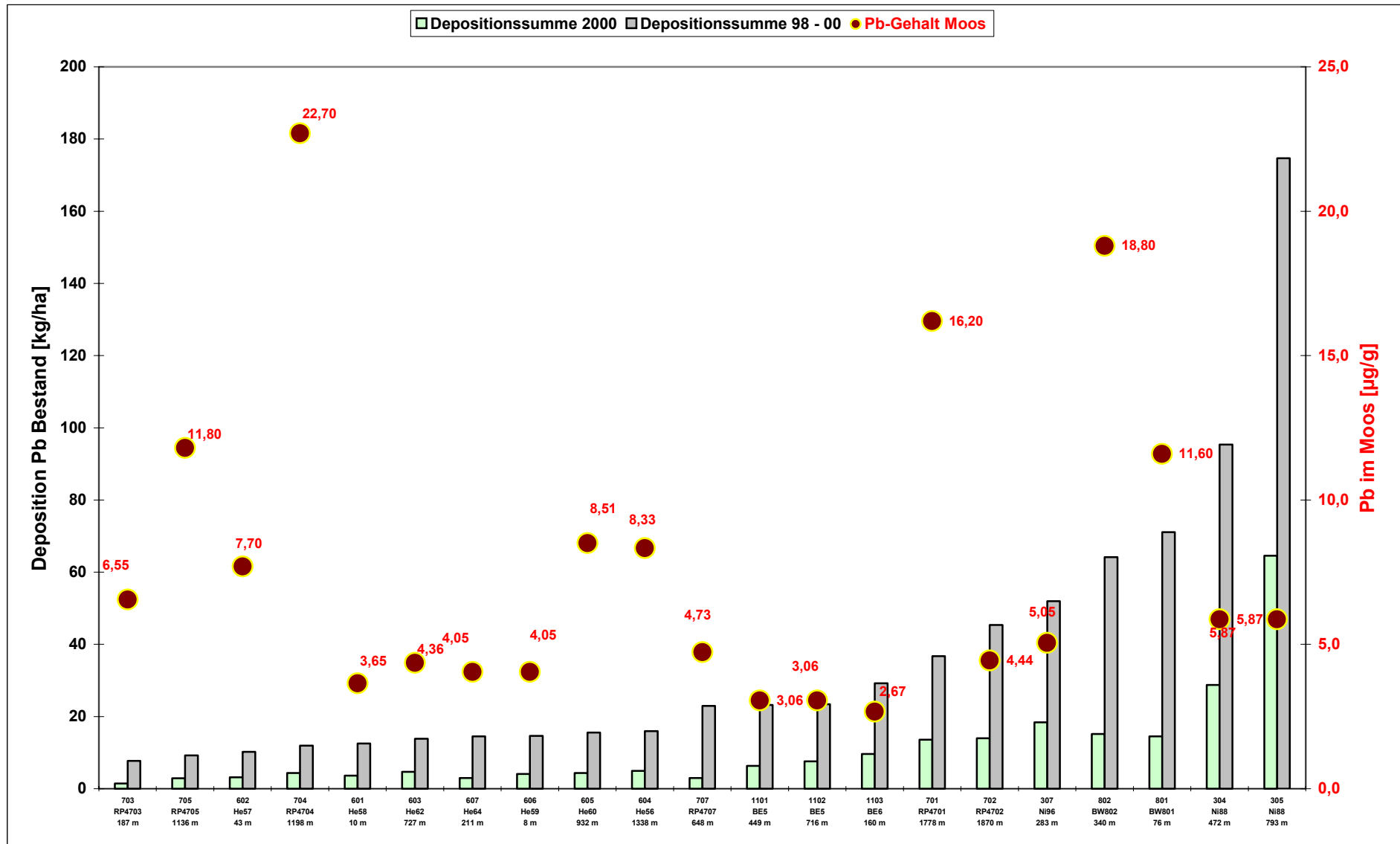
Anhang C.30: Vergleich Cu im Moos (Moos-Monitoring 2000) Cu in der Bestandesdeposition (ICP-Forests Level II)



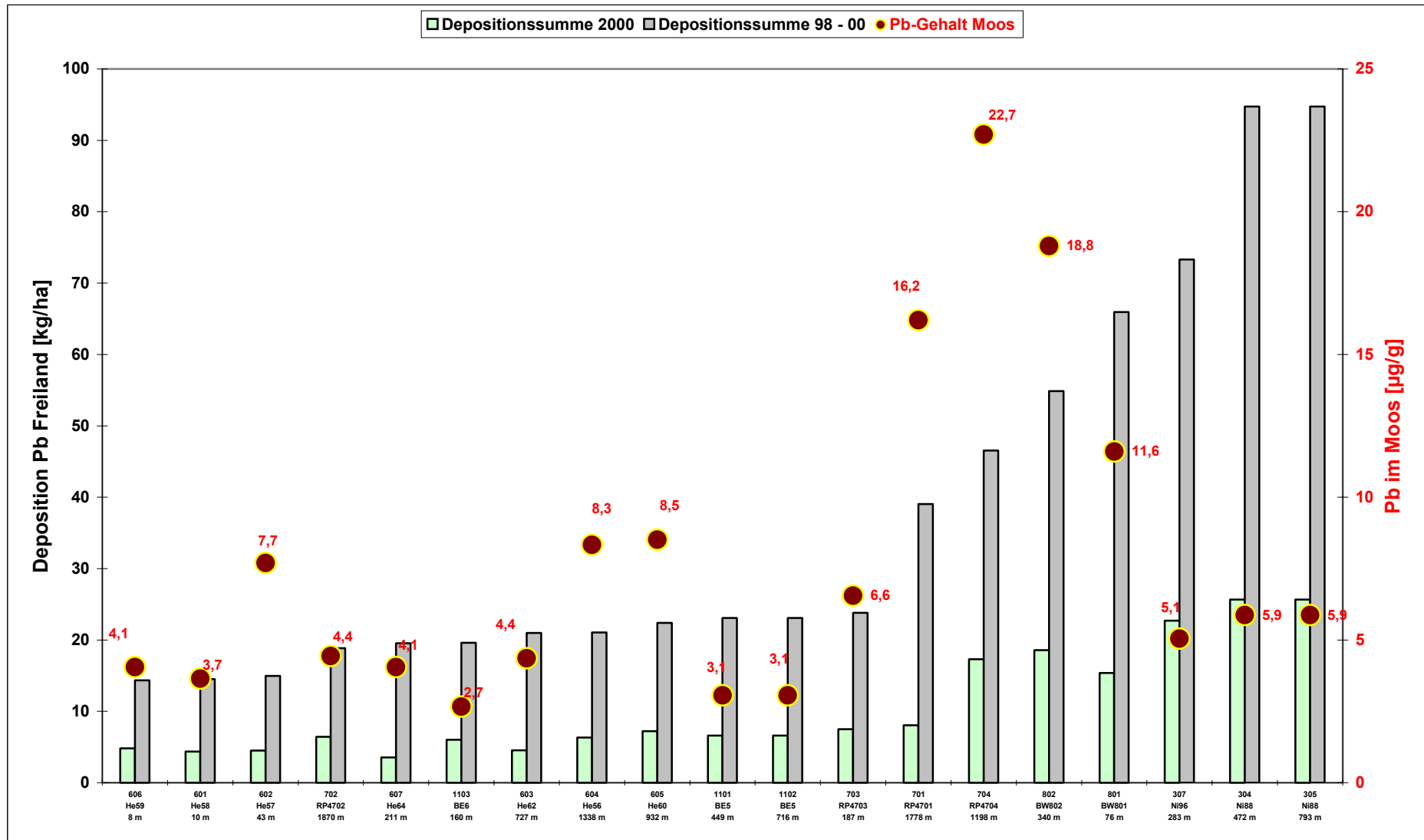
Anhang C.31: Vergleich Cu im Moos (Moos-Monitoring 2000) Cu in der Freilanddeposition (ICP-Forests Level II)



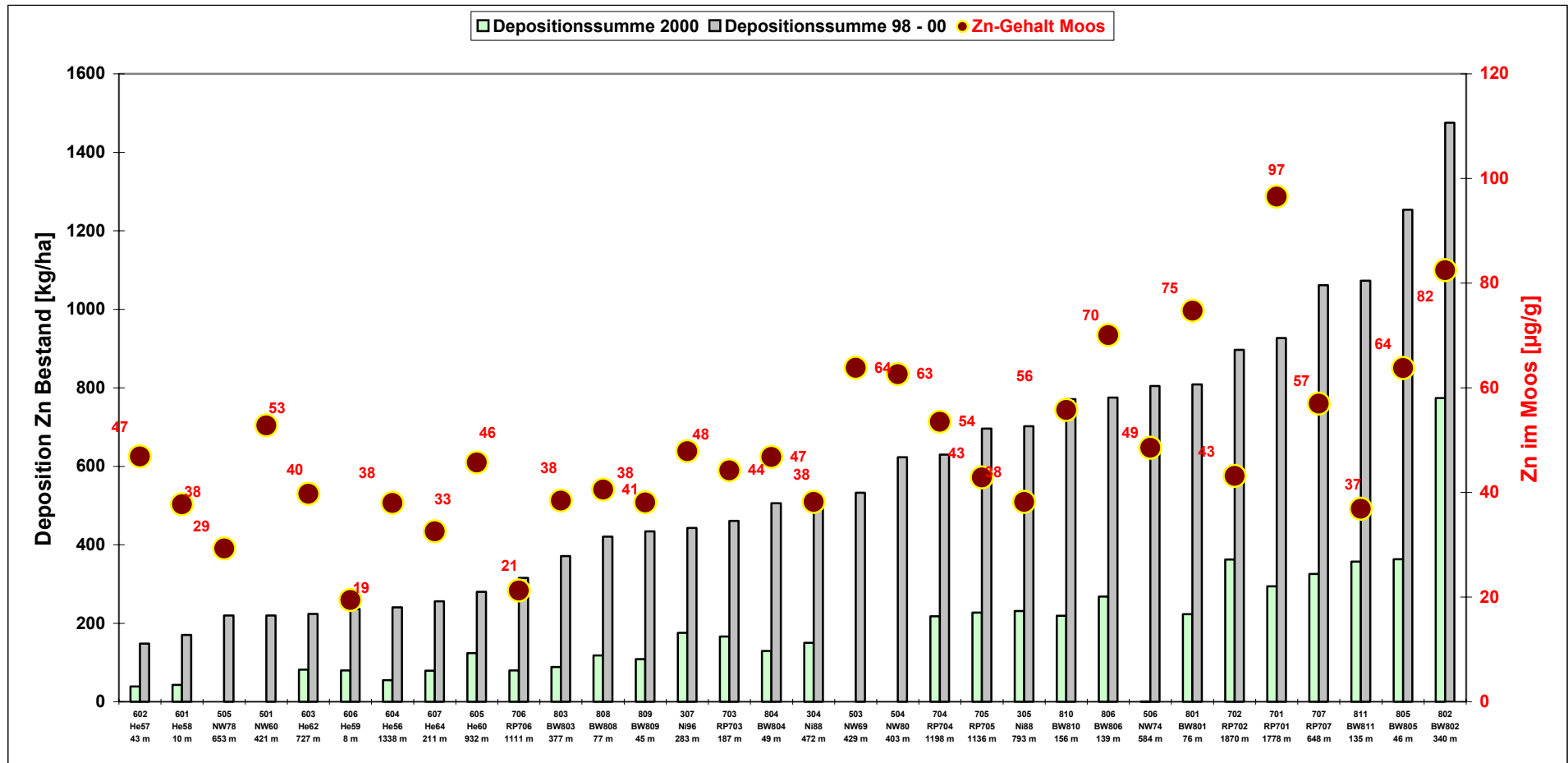
Anhang C.32: Vergleich Pb im Moos (Moos-Monitoring 2000) Pb in der Bestandesdeposition (ICP-Forests Level II)



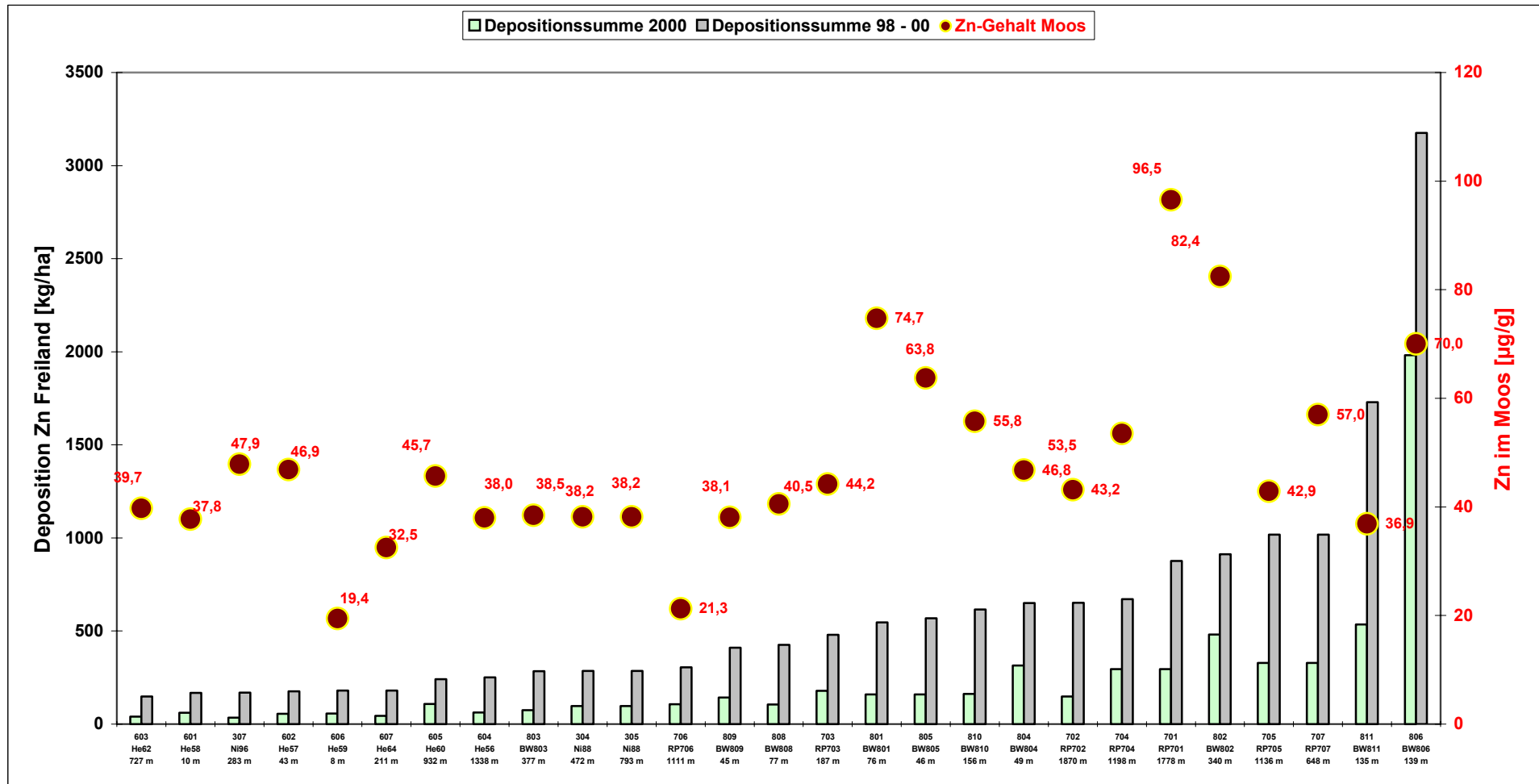
Anhang C.33: Vergleich Pb im Moos (Moos-Monitoring 2000) Pb in der Freilanddeposition (ICP-Forests Level II)



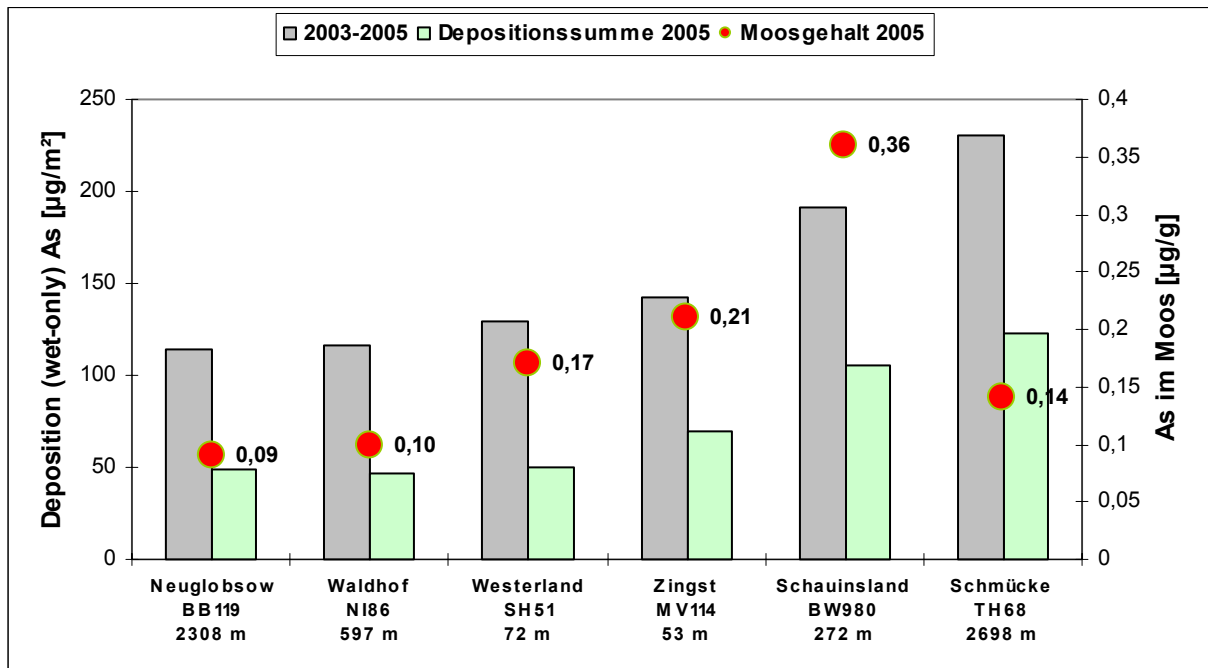
Anhang C.34: Vergleich Zn im Moos (Moos-Monitoring 2000) Zn in der Bestandesdeposition (ICP-Forests Level II)



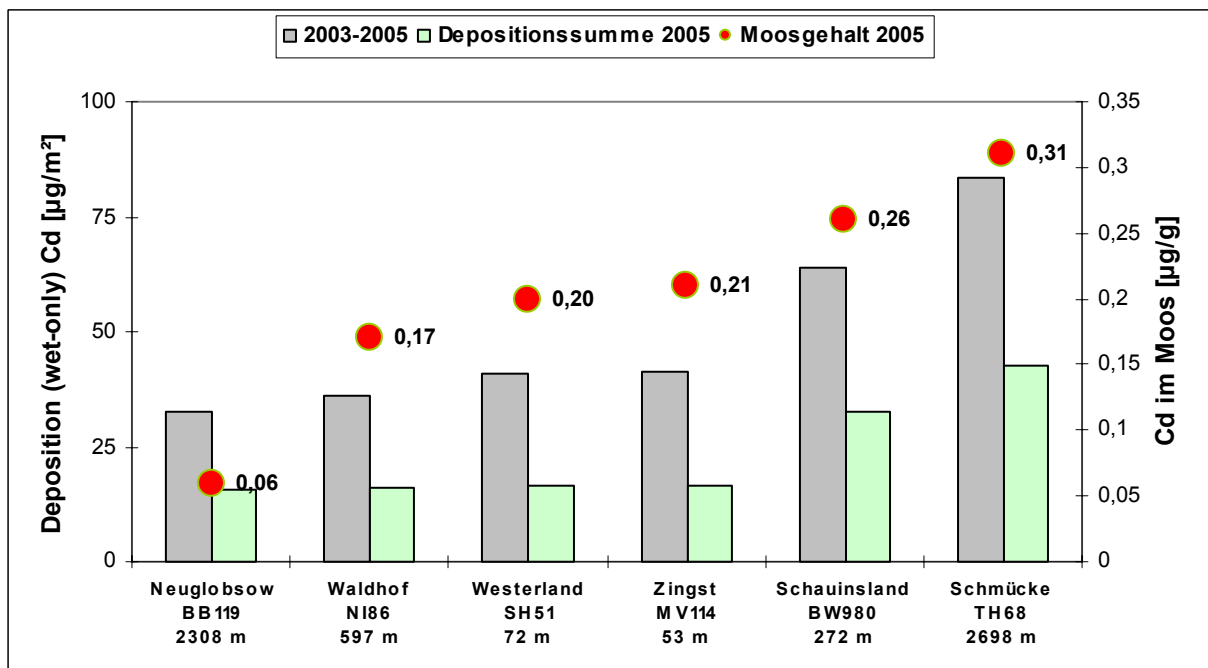
Anhang C.35: Vergleich Zn im Moos (Moos-Monitoring 2000) Zn in der Freilanddeposition (ICP-Forests Level II)



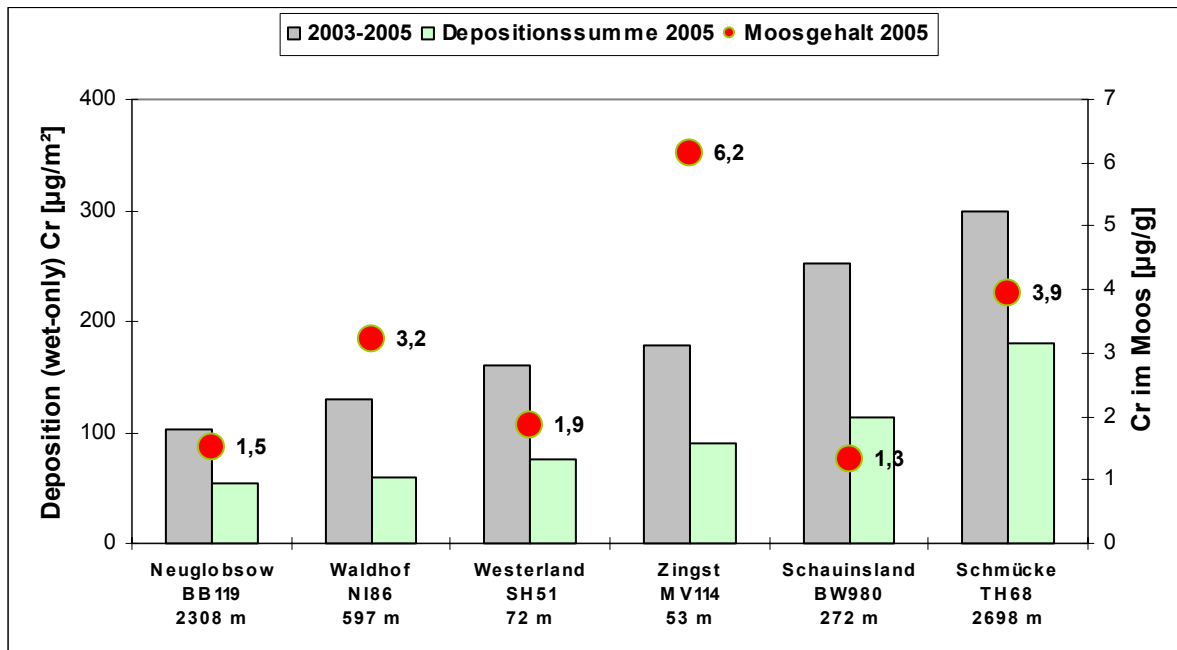
Anhang C.36: Vergleich As im Moos (Moos-Monitoring 2005) As in der Deposition - Wetonly (UBA-Luftmessnetz / ICP Integrated Monitoring)



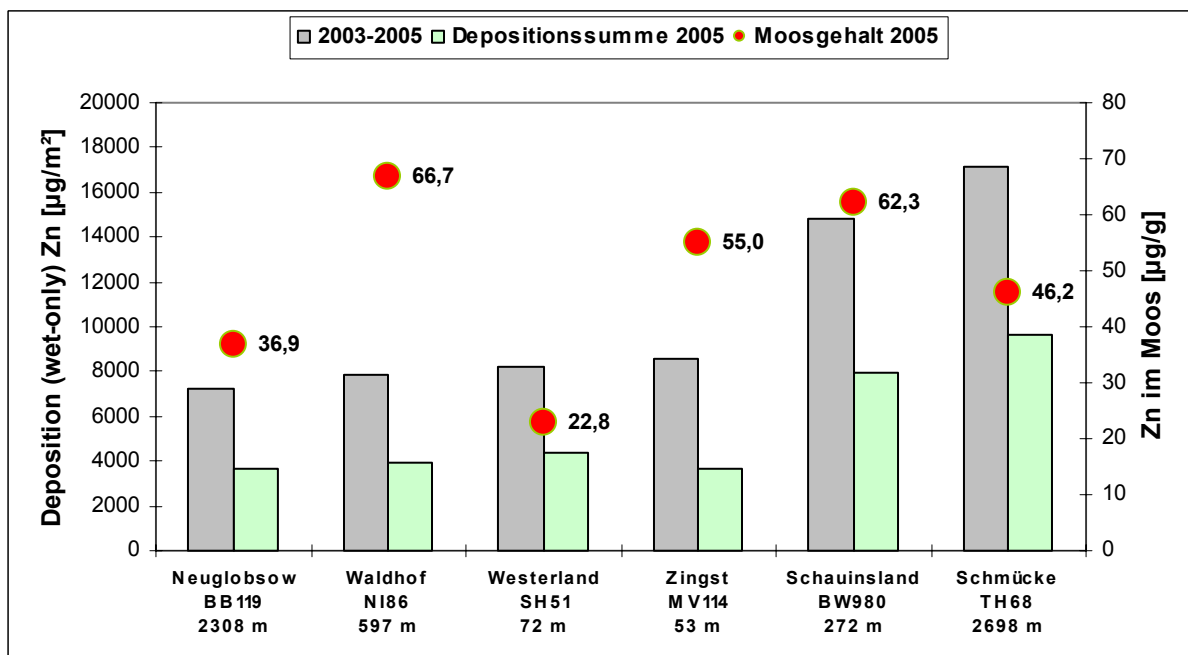
Anhang C.37: Vergleich Cd im Moos (Moos-Monitoring 2005) Cd in der Deposition - Wetonly (UBA-Luftmessnetz / ICP Integrated Monitoring)



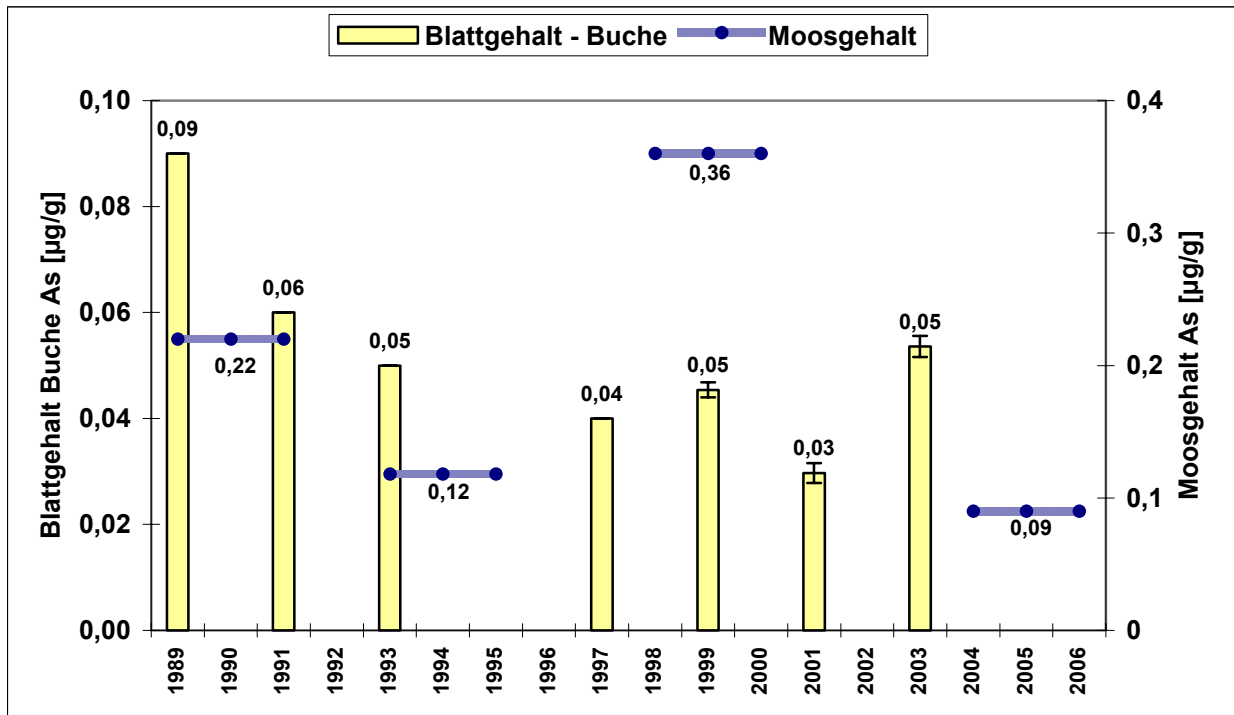
Anhang C.38: Vergleich Cr im Moos (Moos-Monitoring 2005) Cr in der Deposition - Wetonly (UBA-Luftmessnetz / ICP Integrated Monitoring)



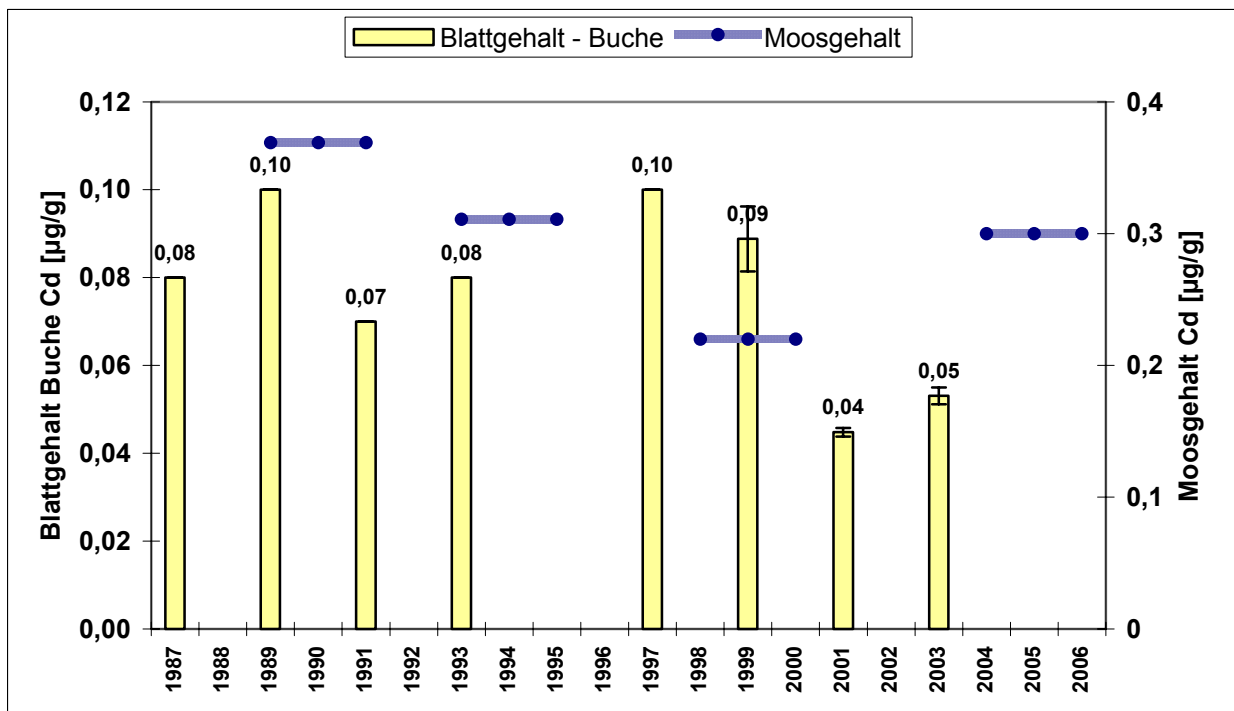
Anhang C.39: Vergleich Zn im Moos (Moos-Monitoring 2005) Cr in der Deposition - Wetonly (UBA-Luftmessnetz / ICP Integrated Monitoring)



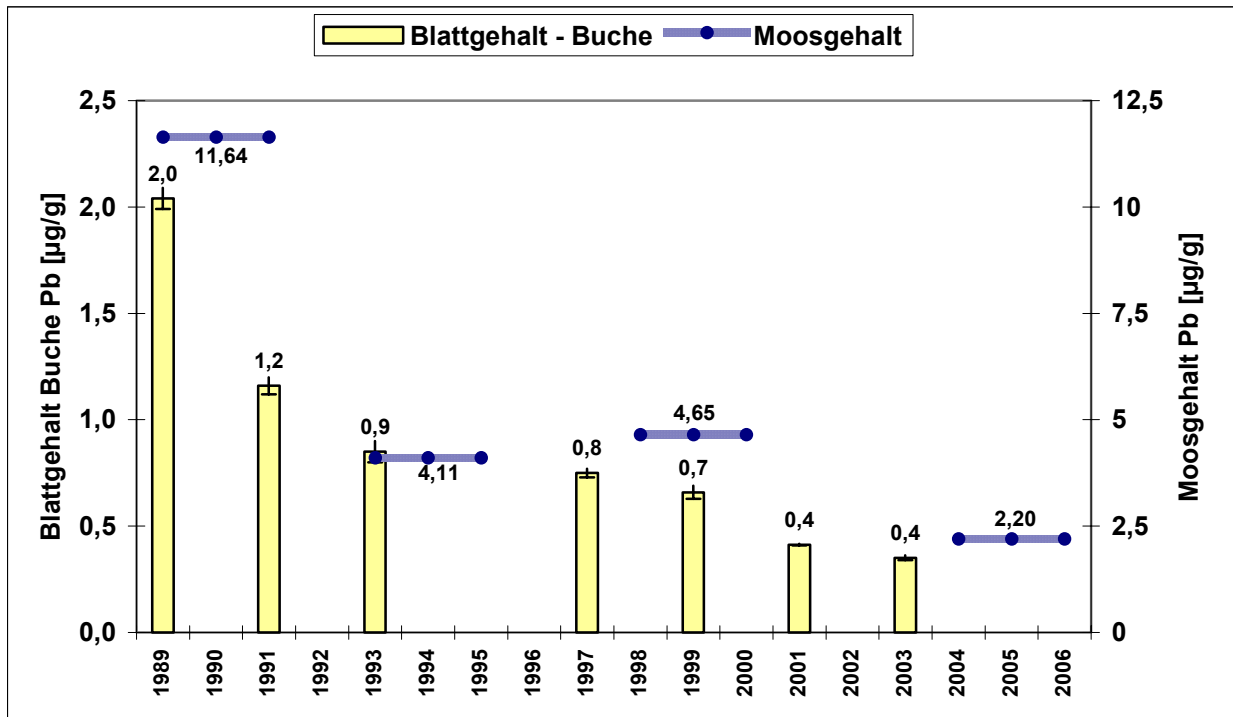
Anhang C.40: Zeitreihenvergleich As im Moos (Moos-Monitoring 1990 - 2005) As in Blättern (Buche) Umweltprobenbankstandort Bornhöveder Seengebiet - Belauer See (Ostseite)



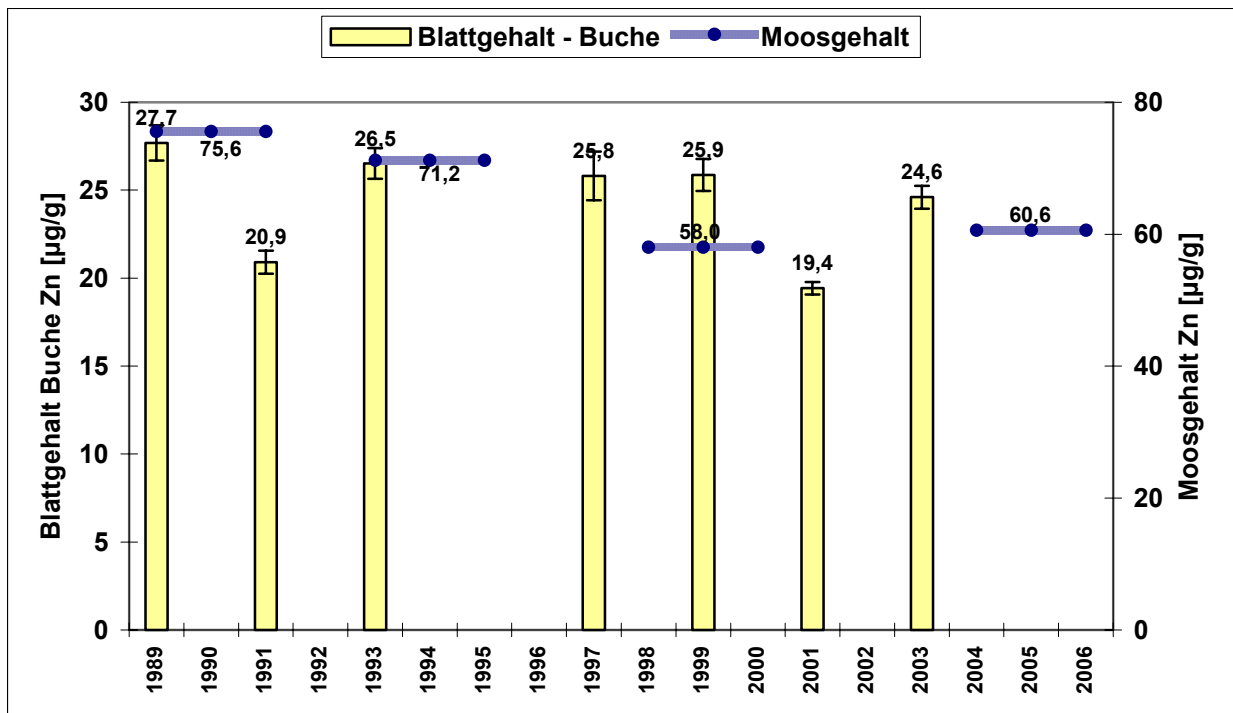
Anhang C.41: Zeitreihenvergleich Cd im Moos (Moos-Monitoring 1990 - 2005) Cd in Blättern (Buche) Umweltprobenbankstandort Bornhöveder Seengebiet - Belauer See (Ostseite)



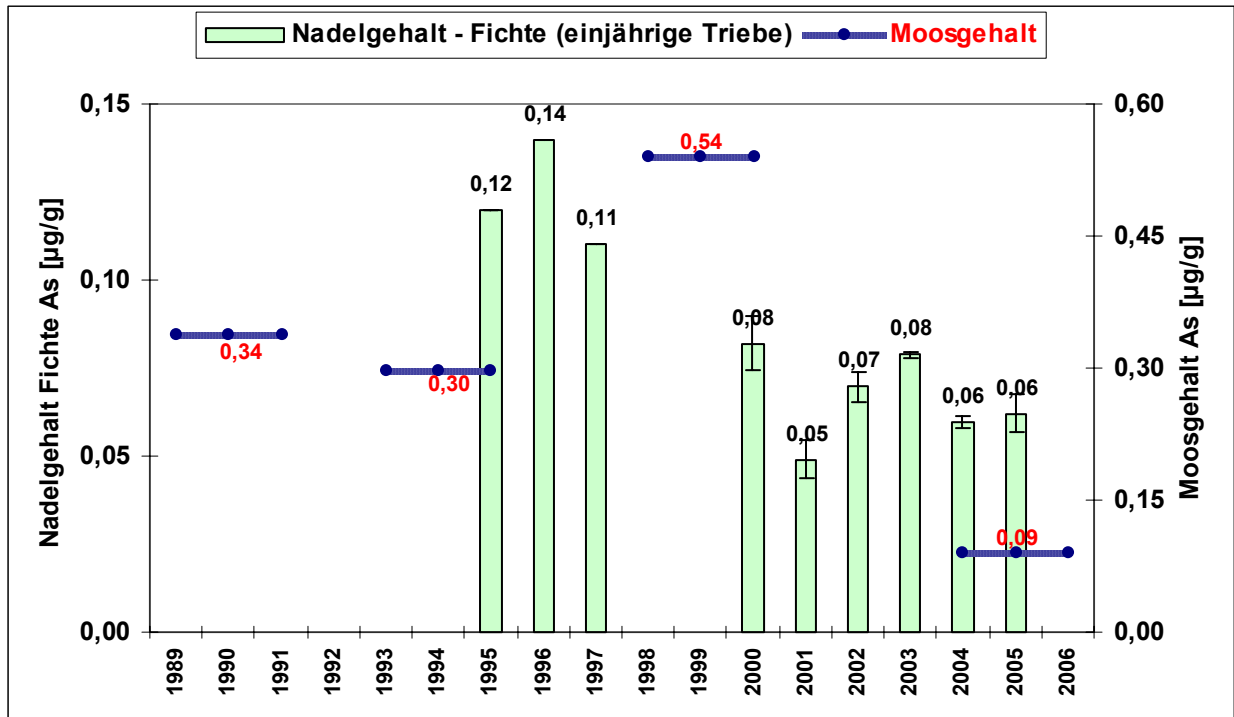
Anhang C.42: Zeitreihenvergleich Pb im Moos (Moos-Monitoring 1990 - 2005) Pb in Blättern (Buche) Umweltprobenbankstandort Bornhöveder Seengebiet - Belauer See (Ostseite)



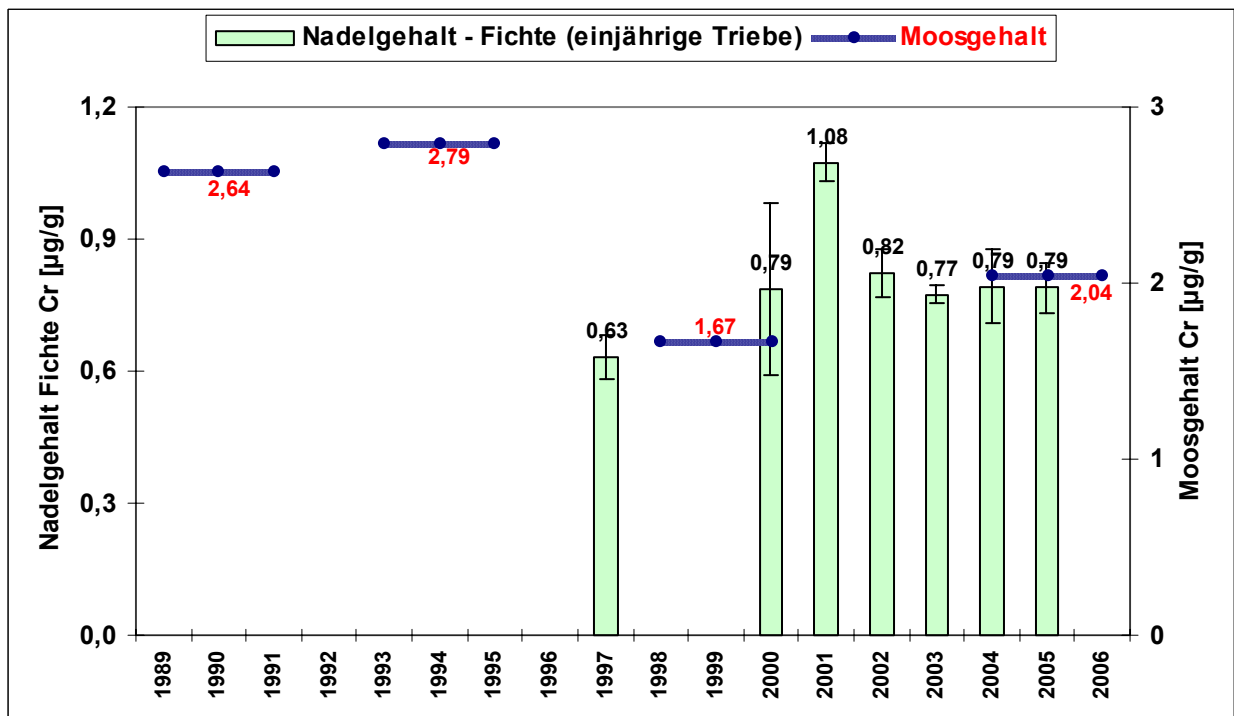
Anhang C.43: Zeitreihenvergleich Zn im Moos (Moos-Monitoring 1990 - 2005) Zn in Blättern (Buche) Umweltprobenbankstandort Bornhöveder Seengebiet - Belauer See (Ostseite)



Anhang C.44: Zeitreihenvergleich As im Moos (Moos-Monitoring 1990 - 2005) As in Nadeln (Fichte) Umweltprobenbankstandort Saarländischer Verdichtungsraum Saarkohlewald (Oberes Steinbachtal)



Anhang C.45: Zeitreihenvergleich Cr im Moos (Moos-Monitoring 1990 - 2005) Cr in Nadeln (Fichte) Umweltprobenbankstandort Saarländischer Verdichtungsraum Saarkohlewald (Oberes Steinbachtal)



Anhang C.46: Zeitreihenvergleich Zn im Moos (Moos-Monitoring 1990 - 2005) Zn in Nadeln (Fichte) Umweltprobenbankstandort Saarländischer Verdichtungsraum Saarkohlewald (Oberes Steinbachtal)

